

IV-6 ウエーブルを走行する車両の運動のダイナミックシステム解析について

北大工学部 正員 萩原 宏 正員 中辻 隆
 " " 小野寺 雄輝 " 藤原 隆
 函館高専 " 川村 彰
 北大工学部 " 加来 照俊

1. まえがき

近年の交通量の増大、とりわけ大型重量車両の増大によって、主要幹線道路の舗装面上にめぐらしづらが形成され、時として車輪逸脱による交通事故の原因となるなど車両の安全な走行にとって大きな阻害要因となっている。

また、北海道のような積雪寒冷地においては、冬期間の舗装面上に形成されるめぐらしづらのみならず、スノータイヤの使用によってアスファルト路面上のめぐらしづらが助長されている。

めぐらしづら走行時の車両の運動の解析においては、路面形状とタイヤのすべり特性、あるいは車両の各部位の運動のモデル化などに加えて多くの難しさが問題を含んでいる。本研究は、めぐらしづら走行時の車両の運動を力学的にモデル化する事の難しさを勘案し、車両の運動を1つのシステムとして捉え、ダイナミックシステムの統計解析理論を用いて車両各部位の運動変量間の特性を明らかにしようとするものである。

最近、システムの解析および制御のために、自己回帰モデルなどの手法が用いられている。飛翔体、あるいは船舶の制御に用いてこれまでいくつもの研究報告がなされているが、車両の運動とりわけめぐらしづらを走行する時の特徴に関しては研究事例はほんんどない。ここでは、最も基本的な研究の一つとして、ダイナミックシステム解析手法適用の妥当性を検討するとともに、走行試験で得られた車両各部位の運動変量間の関係について若干の考察を加えたい。

2. 多変数自己回帰モデル

$\mathbf{x}(s)$ を解析的对象とする運動変量の一次元ベクトル、 $\mathbf{z}(s)$ を、誤差ベクトルとすると、次式Mの多変数自己回帰モデルは次式で与えられる。

$$\mathbf{x}(s) = \sum_{m=1}^M A(m) \mathbf{z}(s-m) + \mathbf{g}(s) \quad (1)$$

係数行列 $A(m)$ は、最小二乗推定によって決定されるが、ここでは、Levinson-Wiggins-Durbin法による漸代式解法を用いてその同定を行った。

クロス累積関数 $P(f)$ は

$$P(f) = [A(f)]^{-1} \sum [A(f)]^{-1} dt \quad (2)$$

$$A(f) = \sum_{m=0}^M A(m) \exp[-j2\pi fm] \quad (3)$$

(2)式で与えられる。ここで $A(f)$ は周波数応答関数と言われる。 f は誤差ベクトルの共分散であるが実際の計算にあたってはその推定値 $\hat{\Sigma}$ を用う。この非対角要素が対角要素に比べて十分小さい時、すなはち誤差ベクトル $\mathbf{z}(s)$ の相異なり要素同士の無相関性が仮定出来る場合においては、各運動変量に対する各種音源の寄与の度合を次式によて評価出来る。

$$R_{ij}(f) = \sum_{k=1}^P g_{ik}(f) / g_{ii}(f) \quad (4)$$

ここで、

$$P_{ii}(f) = \sum_{k=1}^P |A(f)_{ik}|^2 \quad (5)$$

$R_{ij}(f)$ は周波数 f における $\mathbf{z}(s)$ のペイオースペクトルの中に含まれる $E_i(s) \sim E_j(s)$ の誤差成分の累積の寄与率を表わしている。

また、(1)式の最高次数 M の決定は、AIC (Akaike's Information Criteria) 最小基準によつた。

3. めぐらしづら走行試験

舗装路面上におけるめぐらしづら走行試験を、北大構内北13条通りにおいて実施した。当試験路上には、ほぼ小型乗用車のホイールベースに相応しくめぐらしづらが形成されている。走行試験に先立つて行なわれた横断方向の水準測量では、めぐらしづらの頂部と底部における高低差は15~20mmであった。

走行試験は、西→東向きに一定速度40km/hで約80mの区間を、兩輪サスペンション車両を位置して走行するようにして行なわれた。

測定項目と測定位置を表-1に示した。

その外にも、前述ディスク用いて重心位置、およびヨーレート、ヨール角等の測定も行はれましたが、ここでは主に表-2に示した測定変量に関する解析結果について報告したい。表-1の中ではX方向は車両の進行方向、Y方向は鉛直方向、Z方向は、それより垂直な水平横方向を意味している。

なお、走行試験は運転者による特性の変化を併せて分析するため、被験運転手では以下の名の運転手（No.1～No.3）が同じ走行を行った。

自己相間、相互相関に基づく解析にあたり最も難しい問題の1つは、自己相間および相互相関係数の推定である。ここでもラグmに対する相互相関係数は、データのエルゴート性を仮定し、

$$\hat{C}_{ij}(m) = \frac{1}{N-m} \sum_{s=m}^{N-1} x_i(s)x_j(s-m)$$

をもってその推定値としているが、上の式に見る通り、データ数Nの取り方によって $\hat{C}_{ij}(m)$ の値が変動する。

図-2は、表-1に示した7変数に関する左上偶角部を $\hat{G}_1(m)$ とし、右下部を $\hat{C}_{ij}(m)$ として、N=400, 800, および1600に対する相互相関係数($\hat{C}_{ij}(m)/\sqrt{\hat{G}_1(m)\hat{G}_j(m)}$)を同時に重ね表示したものである。横軸のタイムラグは、0～0.5秒(m=0～50)を取っている。

図が若干小さいので3本の曲線の識別が難しが、(6,6)～(7,7)に示されていて豫能角と豫能角に関する相関係数が、タイムラグが大きくなるにつれ、データ数の影響が表われてきているが、その差は小さく他の変数に関するものも含め、定期的周期を示していると推察される。

図-3には、表-1に示した7変数の中から代表的なGY, FRY, およびSPWの3

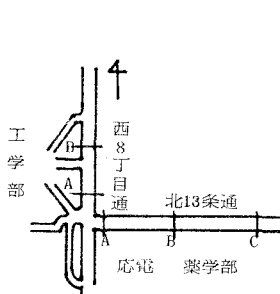


図-1 車両走行試験地

NO	測定変量	略号
1	重心 X方向加速度	GY
2	「 Y方向 ''	GZ
3	前輪左バンブX方向加速度	FLZ
4	「右「 Y '' ''	FRY
5	「右「 Z '' ''	FRZ
6	操舵力(ハンドル)	SPW
7	操舵角(°)	SAG

表-1 測定変量

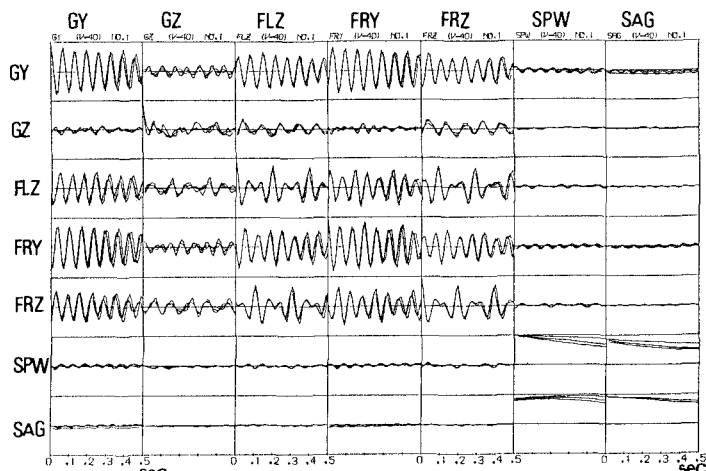


図-2 データ数が相互相関係数に与える影響

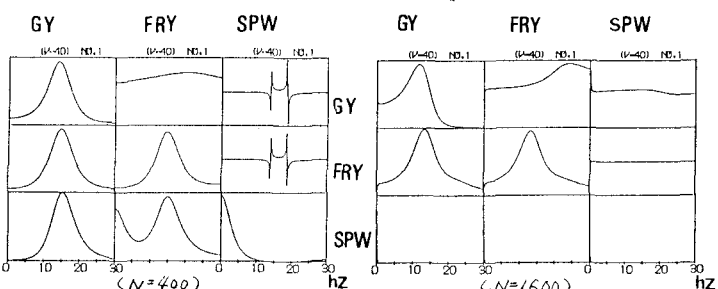


図-3 データ数がクロススペクトルに与える影響

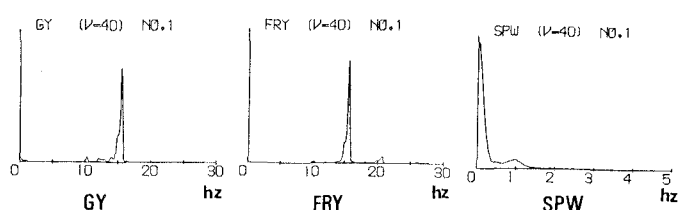


図-4 FFT法によるパワースペクトルの推定

つの変数を選び、それらの間のクロススペクトルとコピー・レンズをマトリックス表示した。(1)がデータ数 $N=400$ は、(2)が $N=1600$ に対するものである。マトリックスの構成法は図-2と同様であるが、対角を含め左下三角がクロススペクトルを、右上三角がコピー・レンズを表している。横軸の周波数は0～30hzである。

図-4は、図-3の結果と比較するためFFT (Fast Fourier Transform)により求めた各変数に対するパワースペクトル(図-3の対角要素に対応)である。

図-3の(1)と(2)を比較すると、対角の位置にあるパワースペクトルにおいては、 N が小さい(1)ではやや分解能が悪くなり、大きいがその差は小さい。しかししながらGYとSPW、あるいはFRYとSPWのクロススペクトルにおいては、 N が小さい時は、GYやFRYの影響を受けて13～15hz附近に卓越が見られているが、 N が大きい場合には、対応する周波数成分には卓越は見れず、ほぼSPWのパワースペクトルと類似したものとなっている。これは、いづれかが誤ったスペクトルを算定していることではなく、解析の対象とする時間幅のとり方によ、スペクトルが大きく変動することを表している。図4、および図5と大体通りに、解析手法あるいは変数のとり方によ、スペクトルの推定が大きく変化することにも十分留意する必要がある。

図5は、表1の7変数全てに關し、その全走行期間データより求めたクロススペクトルとよびコピー・レンズである。マトリックスの構成法は図-3と同一である。(1)～(3)の図はそれぞれNo1～No3の運転者による走行試験結果である。

(1) および(2)記録において、Z1～Z6の車両各部位のパワースペクトルを見ると

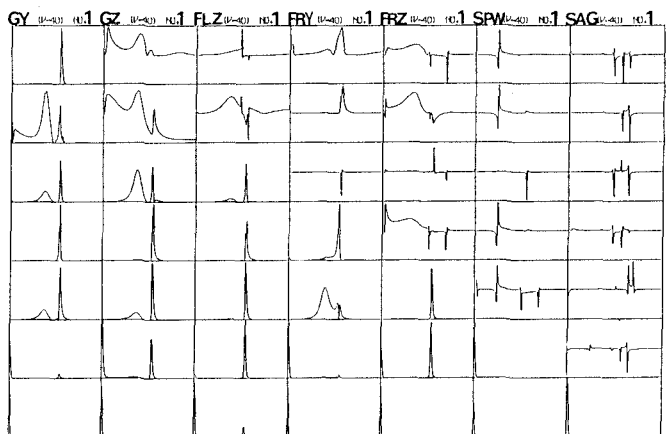


図5(1) 運転者 No1 走行試験

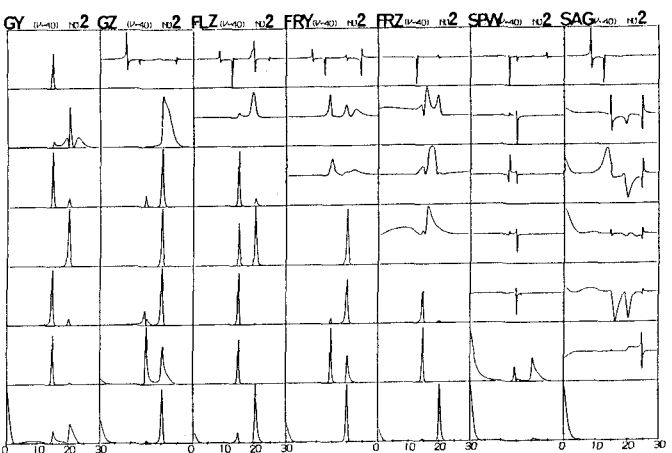


図5(2) 運転者 No2 走行試験記録の7日スペクトル、コピー・レンズ

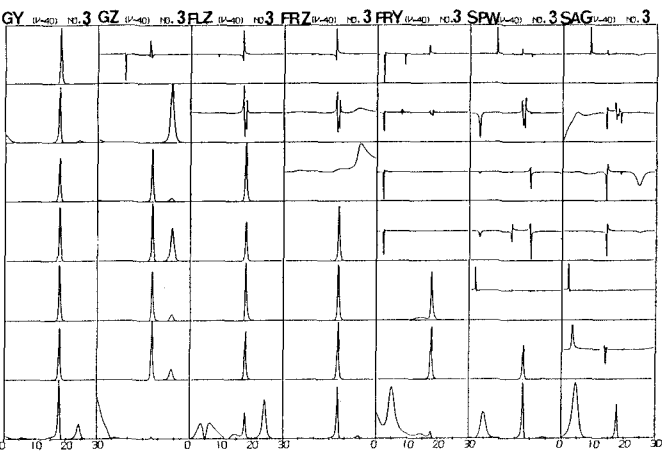


図5(3) 運転者 No3 走行試験記録のクロススペクトル、コピー・レンズ

では、約15Hz付近で、而では18Hz付近に卓越が見られ、車両全体が1つの周期運動をしている。一方、(1)の記録では、15Hzおよび20Hz近くで卓越性が表われている。これは車両付近で走行試験を通じ、今回試験に用いた車両（三菱ジーフ）のハネ上、およびハネ下の卓越周波数がこれまで述べた通りである。この因において、ハネ下の卓越周波数よりやや小さい周波数で卓越が現われているのは、重心GKのハーフ(2,2)に見えたように心材上部の運動による遠放作用を受けて事によると推測されるが、(2)の(3)のGK現われている20~23Hz左右の出来と(2)において卓越周波数が分離化している事の原因などについては、この分からは判然としない。

ゴヒーレンストに関するでは、卓越周波数付近で正、負の相関が現われているが、それ以外の領域では一般的に相関は小さくなつてゐる。

表-3は、NO1～NO3の運転者の試験データを多変数自己回帰モデル化した時の誤差の分散の推定値である。(正規化)

操作能力と操作角の相関が高くなる。つまりのは予想されるが、FLR が FRY よりも FRL 五度や高い相関を示している。

表-2の非対角要素が対角要素に比べて十分小さく見なし、(4)式より多変数の周波数応答関数を図-6に、(4)式より誤差の累積率分布を図-7に示した。図-6ではNo1とNo2の運転者の応答関数が比較的類似したが、No3のものは異なる形狀を示した。五行目変数に対する各列目変数の誤差の累積率分布では、自身による誤差の影響が大きい事、運転者による差異が比較的小さい事、バネ下部による誤差の影響併せて、これらに対する説明付は今後更に充とがき自己回帰モデルによる予測

	NO1						
	1	2	3	4	5	6	7
1	-1.0000	-0.0297	-0.2059	-0.2774	-0.2458	0.1269	-0.0736
2	-0.0297	1.0000	-0.0288	-0.0420	-0.0414	0.0398	0.0613
3	-0.2059	-0.0288	1.0000	0.4827	0.5342	-0.0281	-0.0569
4	-0.2774	-0.0420	0.4827	1.0000	0.1413	-0.1677	-0.0602
5	-0.2458	-0.0414	0.5342	0.1413	1.0000	0.0558	-0.0444
6	0.1269	0.0613	-0.0281	-0.1677	0.0558	1.0000	0.1953
7	-0.0736	0.0193	-0.0569	-0.0602	-0.0444	0.1853	1.0000

	NO2						
	1	2	3	4	5	6	7
1	1.0000	0.1245	-0.0585	-0.1963	-0.2209	0.1434	-0.0715
2	0.1245	1.0000	0.0255	-0.0040	-0.1172	-0.0542	-0.1090
3	-0.0585	0.0265	1.0000	0.3653	0.4529	0.0228	0.0435
4	-0.1963	-0.0040	0.3653	1.0000	-0.0687	-0.1441	-0.0302
5	-0.2209	-0.1172	0.4529	-0.0687	1.0000	-0.0710	-0.0232
6	0.1434	-0.0542	0.0228	-0.1441	-0.0710	1.0000	-0.0232
7	-0.0715	-0.1090	0.0435	-0.0302	-0.0232	-0.0232	1.0000

6	-0.1434	-0.0542	0.0228	-0.1441	-0.0710	1.0000	0.3708
7	-0.0715	-0.1090	-0.0435	-0.0302	-0.0232	0.3708	1.0000
---	E[$e(s) \cdot e(s')]$	---	N03	4	5	6	7
1	1.0000	-0.0516	-0.0128	-0.1476	-0.0822	0.1436	0.1778
2	-0.0516	1.0000	0.0141	0.0443	0.0255	-0.0334	0.0182
3	-0.0128	0.0141	1.0000	0.4018	0.3170	0.1478	0.0455
4	-0.1476	0.0443	0.4018	1.0000	-0.1971	-0.0697	0.0126
5	-0.0822	0.0255	0.3170	-0.1971	1.0000	0.0622	-0.0321
6	0.1437	-0.0334	0.1478	-0.0697	0.0622	1.0000	0.6073
7	0.1779	0.0182	0.0455	0.0126	0.0321	0.6073	1.0000

表-2 平測誤差の推定値の比較(選択者No1~103)

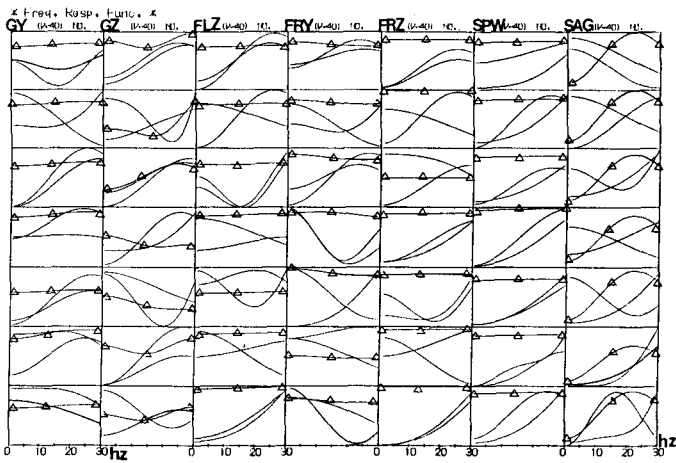


図-6 周波数応答関数の比較 (←→ 運転者 No3)

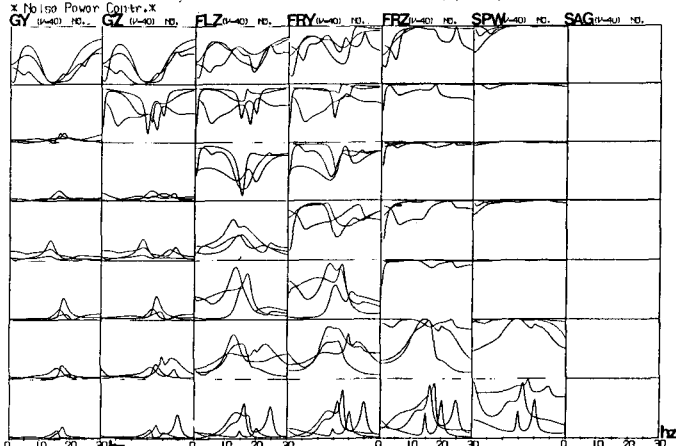


図7 誤差累積寄与率の比較